

ICS 27.140
F 14



中华人民共和国国家标准

GB/T 39571—2020

波浪能资源评估及特征描述

Wave energy resource assessment and characterization

(IEC TS 62600-101:2015, Marine energy—Wave, tidal and other water current converters—Part 101: Wave energy resource assessment and characterization, MOD)

2020-12-14 发布

2021-07-01 实施

国家市场监督管理总局
国家标准化管理委员会 发布

目 次

前言	I
1 范围	1
2 规范性引用文件	1
3 术语和定义	1
4 符号、代号和缩略语	2
5 资源评估等级和流程	3
6 数据收集	5
7 数值模拟	8
8 测量—关联—预测	14
9 数据分析	14
10 资源评估技术报告	18
附录 A (资料性附录) 本标准与 IEC TS 62600-101: 2015 相比的结构变化情况	22
附录 B (资料性附录) 本标准与 IEC TS 62600-101:2015 的技术性差异及其原因	23
附录 C (资料性附录) 敏感性分析方法	27
附录 D (资料性附录) 海浪模型	29
附录 E (资料性附录) 近岸波浪能资源	31
附录 F (资料性附录) 波浪能资源图表示例	33
附录 G (规范性附录) 测量不确定度评定	35
附录 H (资料性附录) 长期不确定度实例	36
参考文献	39

前　　言

本标准按照 GB/T 1.1—2009 给出的规则起草。

本标准使用重新起草法修改采用 IEC TS 62600-101:2015《海洋能　波浪能、潮流能和其他水流能转换装置 第 101 部分:波浪能资源评估及特征描述》。

本标准与 IEC TS 62600-101:2015 相比在结构上有较多调整,附录 A 中列出了本标准与 IEC TS 62600-1:2015 的章条编号对照一览表。

本标准与 IEC TS 62600-101:2015 相比存在技术性差异,这些差异涉及的条款已通过在其外侧页边空白位置的垂直单线(|)进行了标示,附录 B 中给出了相应技术性差异及其原因的一览表。

本标准做了下列编辑性修改:

- 将标准名称改为《波浪能资源评估及特征描述》;
- 增加了附录 D“海浪模型”;
- 修改了 IEC TS 62600-101:2015 中附录 A 中 A.2、A.4 和表 A.1;
- 修改了 IEC TS 62600-101:2015 中附录 C“长期不确定度计算示例”;
- 增加了附录 F“波浪能资源图表示例”;
- 修改了参考文献。

本标准由全国海洋能转换设备标准化技术委员会(SAC/TC 546)提出并归口。

本标准起草单位:国家海洋技术中心、河海大学、中国科学院广州能源研究所、中国电建集团华东勘测设计研究院有限公司、国家海洋标准计量中心、中国长江三峡集团有限公司、集美大学。

本标准主要起草人:姜波、吴国伟、彭伟、张运秋、赵建春、汪小勇、徐春红、张田田、方舣洲、张榕、袁静、丁杰、张继生、蔡丽、林琳、彭雯。

波浪能资源评估及特征描述

1 范围

本标准规定了波浪能资源评估等级和流程、数据收集、数值模拟、测量—关联—预测法、数据分析和资源评估技术报告编写。

本标准适用于规划选址、可行性研究和设计开发三个阶段的波浪能资源评估。

本标准不适用于极端海况条件下的波浪能资源评估。

2 规范性引用文件

下列文件对于本文件的应用是必不可少的。凡是注日期的引用文件，仅注日期的版本适用于本文件。凡是不注日期的引用文件，其最新版本(包括所有的修改单)适用于本文件。

GB/T 4883 数据的统计处理和解释 正态样本离群值的判断和处理

GB 12327 海道测量规范

GB/T 27418 测量不确定度评定和表示(GB/T 27417—2017, ISO/IEC Guide 98-3:2008, MOD)

JTS 145 港口与航道水文规范

ASME V&V 20 计算流体力学与传热学的验证与确认标准(Standard for verification and validation in computational fluid dynamics and heat transfer)

3 术语和定义

下列术语和定义适用于本文件。

3.1 规划选址 **reconnaissance**

对研究海域的波浪能资源的数量、质量、分布和开发利用状况等进行的调查和评估以及对各建设地点及其经济性进行的初步比较。

注：规划选址资源评估适用于大范围海域的资源评估，通常为某区域内的第一次资源评估。

3.2 可行性研究 **feasibility**

对拟建工程的建设条件做进一步调查、勘测、分析、比较，研究技术可行性、经济合理性以及建设必要性。

注：可行性研究资源评估适用于在设计开发资源评估前，提高规划选址资源评估的准确度。

3.3 设计开发 **design and development**

根据工程总装机规模，制定的详细工程设计方案。

注：设计开发资源评估适用于小范围海域，通常为某一具体项目最终的、也是最详细的资源评估，通常包括波浪能装置的布置、建筑物设计、施工方法以及投资优化等工作。

3.4 测量—关联—预测法 **Measure-Correlate-Predict method; MCP**

将测量位置短期数据与参考位置同期数据建立关联模型来预测测量位置长期数据的方法。

注：测量位置指资源评估的目标站位；参考位置是指具有长期实测数据的站位。

4 符号、代号和缩略语

下列符号、代号和缩略语适用于本文件。

$b(e_p)$:参数 p 的加权平均系统误差

c_g :群速度,单位为米每秒(m/s)

$c_{g,i}$:第 i 个组成波对应的群速度,单位为米每秒(m/s)

d :方向系数

e_p :参数 p 的相对误差

f_i :第 i 个组成波的频率,单位为赫兹(Hz)

f_{ij} :表格单元(i,j)所占全部海况的比例,以百分数(%)表示

f_p :谱峰频率,单位为赫兹(Hz)

g :重力加速度,单位为米每二次方秒(m/s²)

H_{m0} :有效波高的谱估计值,单位为米(m)

h :水深,单位为米(m)

I :整数部分

J :全方向波浪能流密度,单位为瓦每米(W/m)

J_{ij} :表格单元(i,j)的平均波浪能流密度,单位为瓦每米(W/m)

J_θ : θ 方向的波浪能流密度,单位为瓦每米(W/m)

$J_{\theta_{jmax}}$: θ 方向的波浪能流密度最大值,单位为瓦每米(W/m)

k_i :第 i 个组成波对应的波数,单位为每米(m⁻¹)

L_{ij} :表格单元(i,j)的捕获长度,单位为米(m)

MCP:测量-关联-预测法(Measure-Correlate-Predict method)

$MV(p)$:参数 p 的月变化统计

m_n :谱的 n 阶矩,单位为二次方米每 n 次方秒(m²/sⁿ)

N :参数数目

n :谱矩的阶

p :资源特征值

p_{Dk} :观测得到 k 时刻的特征值

p_{Mk} :数值模拟得到 k 时刻的特征值

p_{max} :参数 p 月平均值的最大值

p_{min} :参数 p 月平均值的最小值

R :小数部分

S_i :第 i 个组成波的谱密度,单位为二次方米每赫兹(m²/Hz)

S_{ij} :第 i 个组成波、 j 方向的谱密度,单位为二次方米每赫兹弧度[m²/(Hz · rad)]

T_{02} :平均跨零周期的谱估计值,单位为秒(s)

T_e :能量周期,单位为秒(s),也可写为 T_{-10}

T_p :谱峰周期,单位为秒(s)

T_z :平均跨零周期,单位为秒(s)

u_c :组合不确定度

u_D :测量不确定度

u_{LT} :长期不确定度

u_M :模拟不确定度

WEC: 波浪能转换装置(wave energy converter)
WMI: 测波仪(wave measuring instrument)
w_{ij} : 表格单元(i, j)误差的权重
\hat{w}_{ij} : 表格单元(i, j)误差的标准化权重
δ : 正向分量累积因子
Δf_i : 谱密度的第 i 个组成波的频率间隔, 单位为赫兹(Hz)
$\Delta\theta_j$: 谱密度 j 方向的角宽度, 单位为弧度(rad)
ϵ_0 : 谱宽度
θ : 波浪传播方向, 单位为度(°)
θ_p : 谱峰波向, 单位为度(°)
$\theta_{J\max}$: 波浪能流密度最大值的方向, 单位为度(°)
μ : 均值
μ_0 : 平均方向
$\mu_{ij}(e_p)$: 表格单元(i, j)中参数 p 的系统相对误差
ρ : 海水密度, 单位为千克每立方米(kg/m ³)
σ : 标准差
$\sigma(e_p)$: 加权平均随机误差
$\sigma_{ij}(e_p)$: 表格单元(i, j)中参数 p 的随机相对误差
φ : 地理纬度, 单位为弧度(rad)

5 资源评估等级和流程

5.1 资源评估等级

按规划选址、可行性研究和设计开发三个阶段将波浪能资源评估等级分为 3 级, 见表 1。

表 1 资源评估等级

资源评估等级	阶段
1 级	规划选址
2 级	可行性研究
3 级	设计开发

随着评估等级的提高, 宜改进波谱模型, 以有效降低资源评估的不确定度。可通过以下方式降低不确定度:

- 使用更适合的具有准确物理理论基础的模型(见表 5~表 7);
- 模型在频率、波向、时间和空间上采取适宜的离散化;
- 使用更准确的边界条件和源项(风场、流场等);
- 获取更多的观测结果用于模型验证;
- 模拟更长的时间。

5.2 资源评估及特征描述流程

波浪能资源评估及特征描述流程见图 1。

依据资源评估的等级选择适宜的评估方法。1 级资源评估可采用下列方法之一:

- a) 分析符合 1 级资源评估规定的已有海况参数记录；
 - b) 分析符合 1 级资源评估规定的由数值波浪传播模型生成的方向谱；
 - c) 按第 8 章的要求应用 MCP 方法。
- 2 级、3 级资源评估应采用下列方法之一：
- a) 分析符合 2 级、3 级资源评估规定的由数值波浪传播模型生成的方向谱；
 - b) 按第 8 章的要求应用 MCP 方法。

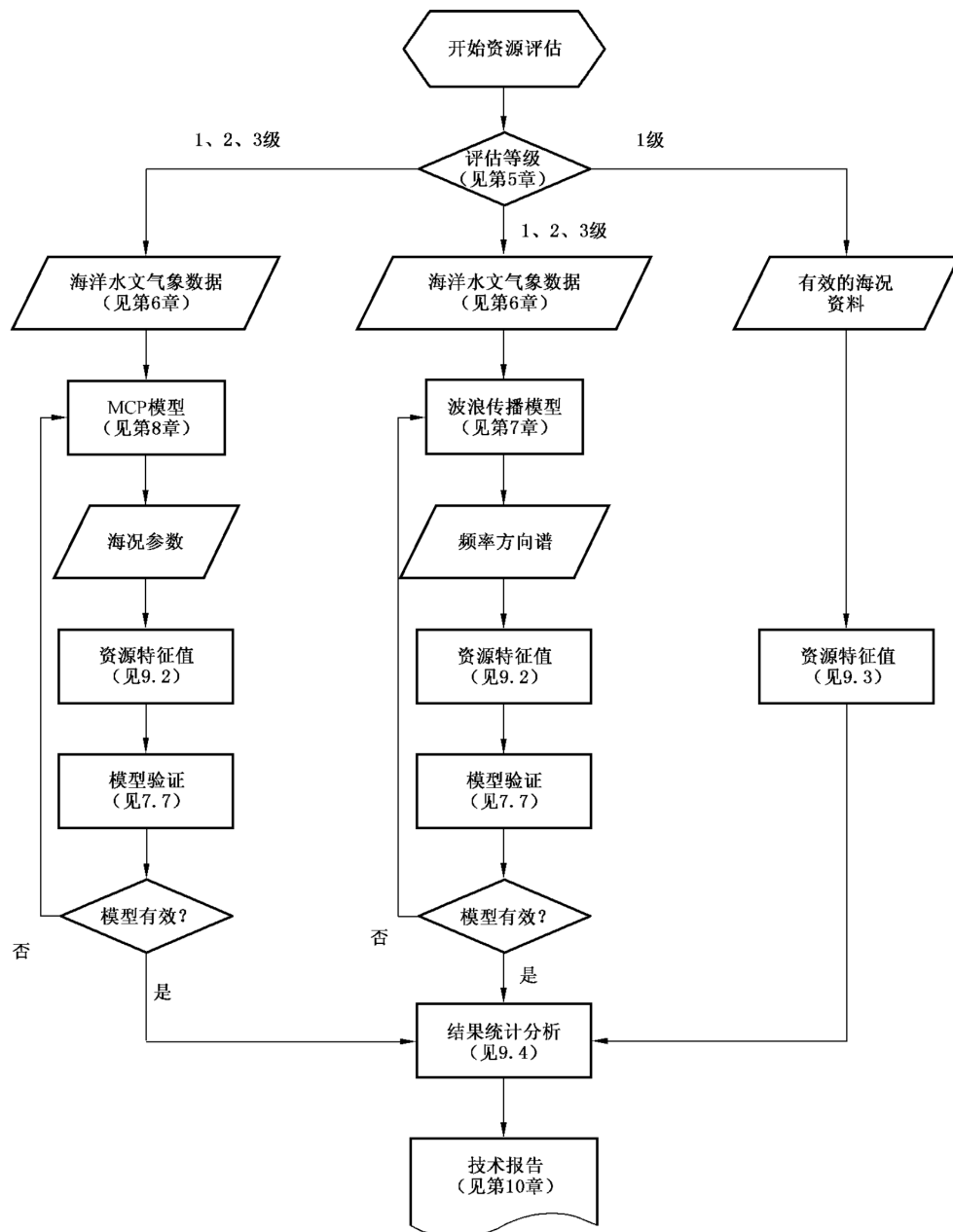


图 1 波浪能资源评估及特征描述流程图

用于生成方向谱的波浪数值模型应符合资源评估等级要求(见表 5~表 7),应采用实测数据对数值模型、边界条件和源项(风场、流场等)进行验证和评估。

6 数据收集

6.1 概述

应概述研究区域内影响波浪能资源的要素,分析确定哪些要素将被用于资源评估。要素应至少包括研究区域、水深数据、历史波浪数据、波浪测量、风数据、潮汐潮流数据、其他流数据、海冰和其他环境条件、 ρ 和 g 。

6.2 研究区域

研究区域是指进行波浪能资源评估和特征描述的目标区域。应明确给出研究区域,并概述研究区域的主要地形特征和海洋水文特征,对影响波浪传播和波候的特征应着重描述。若利用数值模拟方法来评估波浪能资源,应给出明确的模型区域范围;若用 MCP 方法来评估波浪能资源,研究区域则简化为一个或几个离散的站位。

注:模型区域可能因边界条件的原因大于研究区域范围。

6.3 水深数据

应描述模拟区域的水深地形,并绘制等深线图。利用水深数据建立数字高程模型,以应用于波浪传播模型。

水深测量应按 GB 12327 有关规定进行。不同资源评估等级的主测线间距和联络测线间距见表 2。在海底地形起伏较大的海区,应加密测线,加密的程度以能完善地反映海底地形变化为原则。

表 2 水深测线网调查中的测线间距要求

资源评估等级	主测线间距 m	联络测线间距 m
1 级	5 000	50 000
2 级	500	2 500
3 级	50	250

在水深小于 30 m 时,水深测量准确度应优于 0.3 m;在水深大于 30 m 时,水深测量准确度应优于水深值的 1%。

6.4 历史波浪数据

应收集研究区域历史波浪数据和波况研究报告。历史波浪数据主要来源于已有的数值模拟、观测、资源评估或波候研究。其主要作用可包括:

- a) 对分析波浪能资源的季节变化和年际变化、风暴发生频次、多模态波浪系统中的优势模态、谱型和主波向变化等提供关键性描述;
- b) 作为数值模型的边界条件,具体要求应符合 7.3 的规定;
- c) 进行 1 级资源评估的主要数据来源,具体要求应符合 6.5 的规定;
- d) 用于数值模型验证,具体要求应符合 6.5 的规定。

若历史数据采用的是不同于本标准规定的参数,应进行相应的转化,数据转化的方法应进行验证。应按照 9.5 中的规定计算并分析历史数据的不确定度。

6.5 波浪测量

6.5.1 目的

波浪测量的目的如下：

- 对研究区域波浪资源评估采用的数值模型进行验证(见 7.7)；
- 支撑 MCP 方法应用；
- 可作为数值模型边界条件(见 7.3)，用于边界条件和模型验证的数据应相互独立。

1 级资源评估，应测量波高和波周期 2 个要素，单台、无波向参数的 WMI 即可满足测量需要。

2 级、3 级资源评估应测量波高、波周期和波向 3 个要素。

6.5.2 WMI 选择

WMI 应满足表 3 的规定。波浪观测采样频率应不小于 2 Hz，记录时间长度宜不少于 1 024 s，1 级、2 级资源评估至少每 3 h 观测一次，3 级资源评估至少每 1 h 观测一次。

表 3 波浪观测的准确度

资源评估等级	波高 m	波周期 s	平均波向 (°)
1 级	±15% × 测量值	±0.5	—
2 级	±10% × 测量值	±0.5	±10
3 级	±10% × 测量值	±0.5	±5

注：“—”表示 1 级资源评估平均波向无准确度要求。

注：有许多种单点仪器或仪器阵列可用于直接测量频率谱和方向谱。频率谱通常利用固定点波面记录通过特殊的谱估计方法得到，目前常用的频率谱估计方法有相关函数法、周期图法和最大熵法(MEM)等。方向谱通常由阵列仪器、单点仪器或这两种结合构成复合阵量。仪器阵列是指将仪器布成一阵列来同步测量各点的波面位移。单点仪器测量是在单点用浮标同步测量波面位移和波面斜率；或用压力-流速测量仪同步测量压力和流速。目前常用的方向谱估计方法有傅里叶(Fourier)级数法、最大似然法(MLM)、扩展本证矢法和贝叶斯(Bayesian)法等。

6.5.3 仪器检定/校准

WMI 应在检定/校准有效期内使用。仪器检定/校准周期一般不超过 1 年。若检定/校准结果不满足表 3 的规定，则该仪器不应使用。凡在使用过程中经过维修的仪器，应重新检定/校准。

6.5.4 仪器布放

若条件允许，宜在 WEC 布放位置选取至少一个站位进行波浪测量，否则，站位宜选择平均水深与 WEC 布放位置相近的位置。观测站不宜布放在靠近岛礁、海床凸起或碎波区等波浪能空间梯度较为陡峭的区域。

应按仪器供应商的用户手册进行布放。

漂浮式测量仪器应减小由锚系系统导致的误差。对于依靠感知自由表面下动态压力及水质点速度测量的仪器，其传感器应放置于接近自由表面的位置，以精确测量频率高达 0.5 Hz 的波分量。若仪器在多个位置感知波特性，应优化位置以减小误差。

6.5.5 数据备份

为避免因仪器故障或丢失导致数据缺失,宜在一个站位布放不少于2台WMI。即使没有发生仪器故障或丢失,也可为数值模型提供多个验证。

6.5.6 观测数据分析

观测数据异常值可利用仪器供应商提供的筛选法或按GB/T 4883的规定进行剔除。应利用由仪器供应商提供的配套软件或按JTS 145的规定进行波浪频率谱和方向谱估计。

注:目前常用的波浪频率谱估计方法有相关函数法和周期图法,此时得到的为粗谱,为改善谱估计的质量,需对粗谱进行平滑,主要平滑方式有频域平滑、时域分段平滑和这两种方式的结合。常用的方向谱估计方法有Fourier级数法、Bayesian法、MLM、最大熵法(MEM)等。

6.6 风数据

应描述整个模拟区域的风向、风速,包括数据来源和验证方法。数据来源包括实测数据和数值模拟,模拟风场应经过实测数据的有效性验证。若可用风数据的分辨率低于表4中的规定,可使用插值法、外推法和变换法进行数据处理,风场的海拔高度应与波谱模型要求相符。数据处理方法和流程需明确描述并论证。

表4 风数据的分辨率

资源评估等级	时间分辨率 h	空间分辨率 km
1 级	3	100
2 级	3	50
3 级	1	10

6.7 潮汐潮流数据

应描述模拟区域由潮汐引起的水位波动,包括数据来源和验证方法。这些水位波动对波浪传播可能产生的影响应予以评价。利用敏感性分析(参见附录C)或其他分析方法来评估水位波动对波浪传播可能产生的影响,如采用的是新方法则应经过行业内专家评审。如在研究区域中影响显著的范围大于表C.2的规定,则需要在波浪传播模型中增加随时间变化的水位场。

注:多数情况下,可用一个平均值描述整个模拟区域每个时间步长的水位。

应描述模拟区域的潮流,包括数据来源和验证方法。利用敏感性分析(参见附录C)或其他分析方法来评估潮流对波浪传播产生的影响,如采用的是新方法则应经过行业内专家评审。如在研究区域中影响显著的范围大于表C.2的规定,则需要在波浪传播模型中增加随时间变化的潮流场。

若需要进行水位测量和/或潮汐潮流数值模拟,应描述其方法和预期不确定度。

6.8 其他流数据

应描述模拟区域的西边界流、河口径流等其他流,包括数据来源和验证细节,其流速和流向的分辨率应与其时空变化相符。数据来源包括现场观测和经观测值验证的数值模拟。利用敏感性分析(参见附录C)或其他分析方法来评估流对波浪传播可能产生的影响,如采用的是新方法则应经过行业内专家评审。如在研究区域中影响显著的范围大于表C.2的规定,则需要在波浪传播模型中增加随时间变化的流场。

6.9 海冰和其他环境条件

在某些海域,波况会季节性地受到海冰和其他环境条件影响。应收集和描述模拟区域和周边有关海冰的季节性覆盖数据和其他环境数据,包括冰覆盖数据的来源。利用敏感性分析(参见附录C)或其他分析方法来评估海冰和其他环境条件的影响力,如采用的是新方法则应经过行业内专家评审。如在研究区域中影响显著的范围大于表C.2的规定,则需要在波浪传播模型中增加海冰和其他环境条件。

在波谱模型中增加海冰和其他环境条件的方法和程序应予以说明并进行调试。

6.10 海水密度

应确定研究区域的表层 ρ 。若研究区域 ρ 季节变化明显,应考虑 ρ 的季节变化。 ρ 可按下列方法得到:

- a) 直接测量;
- b) 利用温度和盐度测量值进行估算;
- c) 参考以往的研究成果。

若研究区域 ρ 季节变化不明显,可取常数1 025 kg/m³。

6.11 重力加速度

g 应按下列两种方法之一计算:

- a) 标准重力,9.806 65 m/s²;
- b) $9.806\ 12 - 0.025\ 865 \times \cos(2\varphi) + 0.000\ 058 \times \cos^2(2\varphi)$ 。

7 数值模拟

7.1 概述

数值模拟应通过实测数据验证,必要时通过调整模型参数,使模拟结果与实测数据的误差符合表9~表10中要求,模拟数据分析方法见第9章。边界条件和强迫风场应来源于一个更大范围的经过验证的数值模拟结果或海洋水文气象观测资料。

7.2 波谱模型技术要求

表5~表7规定了波谱模型(参见附录D)的技术要求。

表5 波谱模型的边界条件

资源评估等级	参数边界 ^{a, b}	混合边界 ^{a, c}	谱边界 ^d
1 级	可	可	宜
2 级	不应	可	宜
3 级	不应	不应	宜

注1:“宜”表示“宜使用此边界条件”。
注2:“可”表示“可使用此边界条件”。
注3:“不应”表示“不应使用此边界条件”。

^a 宜选择合适的谱型和方向分布函数。
^b 参数边界是以波高和波周期等参数定义的边界条件。
^c 混合边界是以带波向参数的波浪谱定义的边界条件。
^d 谱边界是以方向谱定义的边界条件。

表 6 波谱模型包括的物理过程

资源评估等级	风生浪 ^a	白冠耗散	四波相互作用 ^a	水深诱导的波浪破碎	底摩擦	三波相互作用 ^b	绕射 ^{c,d}	折射	海冰影响	水位变化	波浪反射	波-流相互作用	波浪增水 ^e
1 级	应	应	应	可	可	可	应	应	应	应	应	可	可
2 级	应	应	应	应	应	应	应	应	应	应	应	可	可
3 级	应	应	应	应	应	应	应	应	应	应	应	可	可
注 1：“应”表示“应包括此项物理过程”。													
注 2：“可”表示“可包括此项物理过程”。													
^a 风生浪和四波相互作用的重要性依赖地理范围的大小,对于小区域这些要素可不包含。 ^b 在浅水情况下,三波相互作用比较重要;若研究区域无浅水区,可不考虑三波相互作用。 ^c 在研究区域有海岛、岬等障碍物时,绕射比较重要;若研究区域无障碍物时,可不考虑绕射。 ^d 波浪谱模型的绕射是基于相位平均估算得出的,在网格空间分辨率较低的区域可能误差较大。 ^e 海岸附近波浪能转换宜考虑波浪增水。													

表 7 波谱模型包括的数值方法

资源评估等级	第三代波谱模型	缓坡/抛物线/椭圆模型 ^a	球坐标系 ^b	非定常解	输出参数的空间分辨率 ^c m	输出参数的时间分辨率 ^c h	频率分区数	波向分区数
1 级	宜	可	应	可	5 000	3	25	24
2 级	宜	可	可	可	500	3	25	36
3 级	宜	可	可	可	50	1	25	48
注 1：“应”表示“应包括此项数值方法”。								
注 2：“宜”表示“宜包括此项数值方法”。								
注 3：“可”表示“可包括此项数值方法”。								
^a 海岸附近波浪能转换宜使用缓坡/抛物线/椭圆模型。 ^b 球坐标系的使用依据地理范围和方向分辨率,若地理范围较小可不使用球坐标系。 ^c 边界条件、风场、水深地形、模型网格/时间步长的分辨率应能满足正确反映此区域内的波浪能条件变化尺度。								

模型输出的频率范围宜覆盖 0.04 Hz~0.5 Hz,为更合理地反映风生浪、白冠耗散等物理现象,频率可增加到 2.0 Hz。

波谱模型宜输出不少于 10 年的海况数据,并按 9.5 中的要求进行波浪资源评估的不确定度评定。

利用历史资料进行波浪能资源评估应符合本标准的要求,按 7.7 的规定记录模型配置情况并验证其有效性。

气候变化、人类活动或其他因素,有可能会引起波浪能 10 年以上的变化。因为气候变化的复杂性及其对波浪能影响的不可预报性,研究中宜假定波浪能资源是稳定的,除非有明确的证据表明确实存在显著的气候变化,同时应明确说明并进行合理性证明。

7.3 边界条件

边界条件数据来源应为下列之一：

- a) 海洋水文气象观测数据；
- b) 更大范围的波谱模型后报数据；
- c) 上述两种数据相结合。

若边界条件数据来源于观测数据，应剔除错误和无效数据，任何已知的系统误差也应消除。观测数据时间跨度宜超过 10 年并且数据合格率达到观测总量的 70% 以上。数据使用前应按照设备供应商或数据采集者提供的方法对错误或无效数据进行剔除。任何已知的偏差在使用前也应去除。海洋水文气象数据的采集和分析宜采取前后一致的方法。当采用两组或两组以上仪器采集数据时应特别注意这一点。若边界条件数据来源于波谱模型后报数据，时间跨度宜超过 10 年且通过实测数据的有效性验证。若可能，在使用模拟数据构建边界条件前，应消除数据中的系统误差。

若边界条件数据来源于观测数据和波谱模型后报数据结合使用，应说明其合理性。例如，用模拟数据弥补观测数据空白；若观测数据无波向，则模拟数据可增加波向信息。

若边界条件由参数形式定义，缺失数据可利用 MCP 方法（见第 8 章）进行估算。利用 MCP 方法时，缺失数据可由其他地点的观测数据或者数值模拟数据进行估计，所用的数据应通过评估。进行缺失数据估算的 MCP 方法应进行验证。

为简化波浪模型边界条件，宜将开边界设置在波况较为一致的区域或具有合适数据的区域。理想状态下，可使用位于离岸边界上多个地点的可信波浪数据构建空间上变化的边界条件。对于 2 级、3 级资源评估，可使用前面低级别评估结果构建边界条件，3 级评估宜使用 2 级评估的结果构建边界条件。

注：使用低级别评估结果构建高级别评估边界条件时，可能导致将低级别评估中的误差引入高级别的评估中。

应评估模型离岸边界上波浪条件的均匀性，并构建空间上变化的边界条件用以表示所有波浪条件的变化。应使用敏感性分析（参见附录 C）或其他分析方法来评估空间上变化的边界条件的重要性。若此要素在研究区域内的影响显著，则需将空间上变化的边界条件纳入波浪传播模型中。对无遮蔽近岸场址进行 3 级评估时，宜保证设置于深水区的离岸边界上波浪条件在小范围内空间变化最小，但因预测的准确度要求增加仍需检查边界的准确度。若模拟或观测数据分辨率低于模型分辨率，可采用插值法计算边界条件。

7.4 近岸波浪能资源模拟

当评估海域包括波浪破碎频繁发生的较浅水域时，模型应包括波浪非线性相互作用和有限水深波浪破碎的物理项。更多有关近岸波浪能资源的说明参见附录 E。

7.5 波浪能发电装置阵列对波浪能资源的影响

在 WEC 阵列位置已知情况下，波谱模型宜考虑 WEC 阵列对波浪传播的影响。模型中任何有关 WEC 阵列的影响都应明确说明，并进行合理性证明。

当 WEC 阵列未布放情况下采集了用以验证模型的数据时（见 7.7），则波谱模型的验证中不应包括 WEC 阵列影响。

7.6 模型调参与校正

模型调参指调整模型参数或设定（例如底摩擦等波浪成长或耗散项）以提高模型预测的准确度；然而，不应为提高模型准确度而采用不合理的参数值。

模型校正指调整模型输出使之与实测数据更为一致。实测数据也可用于模型的校正以提高模型预测的准确度，用于模型校正的实测数据应与验证数据（见 7.7）不同。若使用了模型校正，应说明并给出

详细的校正方法及模型不确定度。

测量数据也可用于数值模型的校正,以提高模型预测的准确度。校正模型包括根据函数对模型输出进行修改,这一函数源自原始模型输出与测量数据子集之间的差异。如果使用模型校正,则应报告这一情况,并附上所用校正函数的详细信息以及模型不确定度的变化。模型校正所用测量数据所处的时间段应与验证数据集所处的时间段不同,且没有重叠。

7.7 模型验证

7.7.1 概述

应利用观测数据对波谱模型进行有效性验证,应对波谱模型进行准确波浪能资源预测的能力进行评估和确认。数值模拟结果宜用一个或多个 WEC 附近的观测站数据进行验证,观测站位与 WEC 位置之间海域应开阔,波型、波向一致。技术报告应描述观测站位、数据来源和每个数据集的属性(见 10.3)。

所有用于验证波谱模型的观测数据应符合 6.5 的规定。

7.7.2 验证数据要求

每个验证数据都是在特定时间和地点的单一海况观测值。验证数据集则是特定地点所有验证数据的集合。为了便于验证,验证数据集应被构造为反映不同海况发生频率的全方位有效波高-平均周期散点表(见附录 F 中表 F.1)。为了减少潜在的自相关性误差,代表表格单元的验证数据应由一个最长时间间隔(宜为 6 h)的观测数据中提取出来。若波浪能资源特征具有明显的季节变化,验证数据集时间跨度应超过 1 年。应记录每个月观测数据的合格率,若每连续三个月的合格率低于 70%,应特别标注。对于数据合格率低于 70% 的验证数据集宜用同期的其他观测数据替代。

注：最短时间间隔6 h为经验值。若能证明更小的时间间隔内数据点间无序列相关，则可使用更小的时间间隔。

验证数据覆盖应符合表 8 中规定。

表 8 验证数据覆盖要求

资源评估等级	代表表格单元中最少有效数据个	最小覆盖率%
1	3	90
2	5	90
3	5	95

7.7.3 验证的程序

应按 9.2 中规定进行波浪能资源特征值计算。

模拟值与观测值之间的 e_p 应按公式(1)计算:

波向参数(见 9.2.6)不计算相对误差。

相对误差分为 $\mu_{ij}(e_p)$ 和 $\sigma_{ij}(e_p)$ 。 $\mu_{ij}(e_p)$ 定义为表格单元 (i, j) 相对误差的平均值(见 9.4.2); $\sigma_{ij}(e_p)$ 定义为表格单元 (i, j) 相对误差的标准差(见 9.4.3)。

注 1: 特征参数 $\rho \in [\text{有效波高}, \text{平均周期}, \dots]$, 省略号表示可能需要更多参数。

注 2：误差产生的原因有很多，包括仪器准确度、校正错误、采样变化等。

w_{ij} 应按公式(2)计算:

若 WEC 未定型, L_{ij} 取常数 1。

\hat{w}_{ij} 应按公式(3)计算:

$b(e_b)$ 应按公式(4)计算:

$\sigma(e_p)$ 应按公式(5)计算:

注 3：使用加权平均误差的意义是验证模型结果与有效波高-平均周期散点表间的差异。

数值模拟结果应满足表 9~表 10 中要求。

结果报告(见 10.3)应包括数值模拟验证过程和结果。若因为缺少合适波浪数据或其他原因造成数值模拟结果不能成功验证,应清晰表明“暂定”标签。这种情况下,结果报告应说明暂定状态的原因。

表 9 加权系统误差要求

评估等级	有效波高	平均周期
1	10%	10%
2	5%	5%
3	2%	2%

表 10 加权随机误差要求

评估等级	有效波高	平均周期
1	15%	15%
2	10%	10%
3	7%	7%

验证流程图见图 2, 每个验证站位应重复使用此流程。

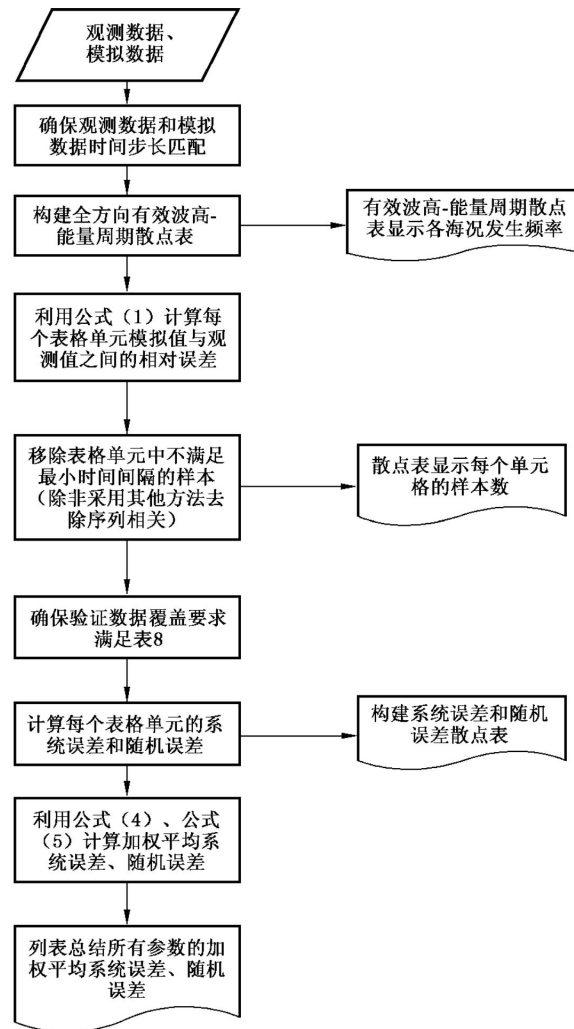


图 2 验证流程图

7.7.4 验证范围

验证范围定义为成功验证点周边海域,即有效波高误差符合表 9 和表 10 中规定。应界定并记录波浪能资源的验证范围。

注 1: 验证范围的确定需要做出一些近似和假设,并没有一个明确的程序。

若验证范围利用不确定度传播来计算,宜按照 ASME V&V 20 的规定。为了减小计算负担,不确定度传播可利用有代表性海况的加权数据集完成,有代表性海况和权重的选取应进行证明并记录。水深、海流和底摩擦系数等参数宜考虑不确定度传播。不确定度可通过经验估计或观测获取,无论哪种方法都应进行证明并记录,同时记录不确定度参数的量值。为了使验证范围以外的参数变异不影响验证范围内的计算,宜进行不确定度标准化处理。

注 2: 使用不确定度传播估计验证范围的前提是假设用于表示波浪传播过程的方程是正确的。

注 3: 用于确定验证范围的数值模型包含所有与波浪演化相关的源项很重要——即使这些源项在模型验证中并未被要求。例如,当验证点在开放海域,但验证范围需包括一处绕射影响波浪资源显著的区域。

若验证来自 MCP 方法(见第 8 章),则验证范围仅为验证点。

所有确定验证范围的方法都应进行证明并记录于技术报告(见 10.3)。

注 4: 需要注意数值模型在验证范围外的输出可能和在验证范围内同样准确,甚至更准确;当然,其准确度在未经验前不得而知。

8 测量—关联—预测

8.1 概述

MCP 方法可用于 1 级、2 级和 3 级资源评估,预测的资源特征值应符合 7.7 的规定。对于 2 级和 3 级资源评估,应使用测量位置和参考位置的方向谱,并按 9.2 中的规定计算资源特征值;对于 1 级资源评估,使用频率谱就足够,使用方向谱则更优。使用 MCP 方法时,测量位置和参考位置处资源特征值应具有强相关性。

8.2 MCP 方法技术要求

当使用 MCP 法时,符合下列要求:

- a) 应记录参考位置和测量位置的坐标、数据来源以及资源特征值的有效性。对于长期数据应满足波浪数值模型中对边界条件的技术要求(见 7.3)。
- b) 所有测量数据的观测和分析应符合 6.5 的要求,资源特征值的计算方法见第 9 章。
- c) 应使用测量位置和参考位置的同期波浪数据计算资源特征值。
- d) 应使用同期数据集的子集建立相关函数,宜选用相关性最大的函数对测量位置长期数据进行预测,选用的相关函数和函数建立方法(包括选用的数据集),应记录并证明其合理性。
- e) 特征参数集的评估应描述 MCP 测量位置的波况,它是由相关性函数以及 MCP 参考位置的长期波浪数据产生的。
- f) MCP 方法评估使用的验证数据集应与建立相关函数的数据集相互独立,验证数据集宜代表测量位置处所有海况,且应满足 7.7 的要求;一般情况下,当验证数据集中的所有元素与建立相关函数的数据集获取时间间隔超过 24 h,认为两者是独立的。
- g) 预测数据的有效性应通过对测量位置处预测数据和验证数据来计算。验证数据应符合 7.7 的规定。
- h) 结果报告应记录使用 MCP 方法评估波浪能资源的结果,包括结果的推导、有效性和不确定度(见 10.6)。若无法验证预测值有效性,资源评估的结果应标记为“暂定”。

注: MCP 方法在风能资源评估中应用较广泛,但在波浪能资源评估方面仍没有一种普适性的相关函数。每种相关函数都有各自的优点和不足,选用函数时主要取决于准确度要求以及站点和资源的特定特征。此外,多数情况下,相关函数是专门针对风能资源评估构建的。MCP 方法尚未广泛应用于波浪能资源评估,不宜规定使用哪种相关性函数。在开展更多的针对波浪能资源评估的 MCP 方法研究获取更多经验后,这一现状将可能改变。

9 数据分析

9.1 概述

对海况数据进行分析,得出与 WEC 运行相关的特征值。若可得到波浪谱,应按 9.2 的规定分析波浪能资源特征值。对于 1 级评估,若只能获得海况特征值,可按 9.3 的规定分析波浪能资源。若无方向信息可用,波浪能资源评估中按方向分布的能量和相关特征值可省略。

描述某一独立的海况特征应包括下列参数:

- J ;
- 特征波高;
- 特征波周期;

- ε_0 ;
 - $\theta_{J\max}$;
 - d .

上述参数的不确定度应予以量化,第10章列出了这些参数的时空变化说明。

若针对特定 WEC 进行资源调查,敏感性分析所需特征参数可能会多于上述参数。在这种情况下,宜对这些特征量进行计算,并存档。

9.2 利用二维波浪谱进行特征描述

9.2.1 波浪谱

海况应利用每个网格点的波浪方向谱进行特征描述。若方向谱无法获取,宜利用频率谱对海况进行特征描述。 S_i 可按公式(6)计算:

部分海况参数是利用 m_n 计算的, m_n 应按公式(7)计算:

9.2.2 全方向波浪能流密度

J 可按公式(8)计算:

$c_{g,i}$ 可按公式(9)计算:

对于常深度水域,弥散关系可按公式(10)计算:

9.2.3 特征波高

H_{m_0} 可按公式(11)计算：

注: $H_{m0} \neq H_s = H_{1/3}$; 波浪观测的有效波高 $H_s(H_{1/3})$, 是将不规则波列中的波高由大到小依次排列, 其中最大的三分之一波高的平均值。

9.2.4 特征波周期

首选的特征波浪周期是 T_e , 此外, 可计算 T_e 和 T_p 。

T_e 应按公式(12)计算：

T_p 可按公式(13)计算：

T_p 对谱型表现出强灵敏性,因而,不宜用 T_p 来评估波浪能资源。 T_p 通常用于 WEC 响应周期设计。

T_z 可按公式(14)计算:

9.2.5 谱宽度

ϵ_0 可按公式(15)计算:

9.2.6 方向分解波浪能流密度

9.2.6.1 θ 方向波浪能流密度

J_θ 可按公式(16)计算:

$$J_{\theta} = \rho g \sum_{i,j} c_{g,i} S_{ij} \Delta f_i \Delta \theta_j \cos(\theta - \theta_j) \delta \begin{cases} \delta = 1, \cos(\theta - \theta_j) \geq 0 \\ \delta = 0, \cos(\theta - \theta_j) < 0 \end{cases} \quad \dots \dots \dots (16)$$

J_θ 的最大值记为 $J_{\theta_{\max}}$, 表示 θ 方向上传播的 J 的最大值。

注 1：只有在分解方向具有正贡献的 J 才对方向分解 J 有贡献值。

注 2：计算 θ 的余弦时，角度需转换为弧度。

9.2.6.2 最大波浪能流密度方向

定义 J_{θ} 的最大值对应的方向为 $\theta_{J_{\max}}$ 。

注: θ_p 与 f_p 相关, $\theta_{j\max}$ 和 θ_p 之间可能存在显著的差异。

由于 θ_p 高度不稳定,也无法代表波浪能传播方向,因此不宜使用 θ_p 来评估波浪能资源。

9.2.6.3 方向系数

d 可按公式(17)计算:

9.2.7 波浪系统分解

给定时间和地点的波浪场可分解为一系列波浪系统,这些波浪系统由海面某处正在发生或已经发生的风引起。测量和模拟获得的波谱分解可用于分析构成主体波浪场的不同波浪系统。可分别计算这些分解波浪系统的特征参数,并通过这些特征参数来估算不确定度(见 9.5)。这种方法将增加模型验证结果的可信度。若波浪能资源评估中采用波浪系统分解,所使用的方法和结论应记录在资源评估技术报告(见 10.3)。

9.3 使用海况特征值进行波浪能评估

可采用海况特征值进行1级资源评估。表征海况的特征值一般包括特征波高、特征周期以及可能的特征方向。波浪谱型的选择宜基于当地波浪数据分析，并且应报告和验证。

注 1：对于 P-M 谱， $T_e = 1.20 T_z = 0.857 T_p$ 。

注 2：对于 Wallops 和 JONSWAP 谱， $T_e \cong T_{1/3}$ 。

J 可按公式(18)估算:

ϵ_0 应基于假设的谱型进行计算。

如果没有可用的方向信息，则波浪资源评估中可以忽略方向分解的 J 及其相关参数。

9.4 结果统计分析

9.4.1 常规数据

应计算所有波浪能资源特征值的年、月统计值,应至少包括下列统计值:

- μ ;
 - σ ;
 - 中值或第 50 百分位数;
 - 第 10 百分位数;
 - 第 90 百分位数;
 - 最大值;
 - 最小值;
 - MV(p)。

9.4.2 均值

参数 p 的 μ 应按公式(19)进行计算(μ_0 除外):

μ_0 可通过公式(20)计算：

$$\mu_{\theta} = \arctan \left[\frac{\sum_{K=1}^N p_i \sin(\theta_K)}{\sum_{K=1}^N p_i \cos(\theta_K)} \right] \quad \dots \dots \dots \quad (20)$$

注：当角度从 360° 到 0° 变化时， $\theta_{j\max}$ 的平均值需谨慎计算。

9.4.3 标准差

σ 应按公式(21)进行计算:

9.4.4 百分位数

参数 p 有 N 个数据,由小到大排列为 $p[1]、p[2]……p[N]$,与第 x 百分位数临近的排列序数为 I ,小数部分为 R , I,R 可根据公式(22)进行计算,其中 $0 < R < 1$:

p 的第 x 百分位数可按公式(23)计算:

第 50 百分位数也指中位数。

示例：

H_{m0} 序列分别为 1.5 m、1.3 m、1.6 m、1.4 m、1.8 m 和 2.1 m，求该序列第 90 百分位数。

解：

将 H_{∞} 由小到大排列如下：

$p[1] = 1.3; p[2] = 1.4; p[3] = 1.5;$
 $p[4] = 1.6; p[5] = 1.8; p[6] = 2.1.$

将 $N=6$; $x=90$ 代入公式(22), 得:

$$6 \times \frac{90}{100} + \frac{1}{2} = 5.9 = I + R$$

将 $I = 5$; $R = 0.9$ 代入公式(23), 得:

$$\text{第90百分位} = p[5] + R[p[6] - p[5]] = 1.8 + 0.9 \times (2.1 - 0.8) = 2.1 \text{ m}$$

9.4.5 月变化

$MV(p)$ 可按公式(24)进行计算:

9.5 资源评估的不确定度

不确定度评定的目的是量化波浪资源评估的不确定度。波浪资源评估中至少应考虑表 11 中所列出的不确定度类别，并在资源评估技术报告中写明。

测量不确定度(见附录 G)应描述与测量的波浪数据相关的所有不确定因素,而这些波浪数据是用于资源评估时数值模型验证或 MCP 法使用;这包括与测量物理环境有关的不确定度和从测量数据导出谱和海况特征特征值的不确定度。模拟不确定度应描述基于资源评估的波谱模型输出和/或 MCP 法输出结果的不确定因素。长期不确定度(参见附录 H)与研究区域内波候的长期变化、数值模拟或分析所选取的周期相关,该周期并不能完全反映研究区域内的长期波候或波浪能项目生命周期内的波候。

在适当的情况下,应按 GB/T 27418、ASME V&V 20 中的规定计算不确定度。用于计算波浪资源评估不确定度的所有方法、程序和假设应通过验证并给出明确的报告。

注：资源评估的不确定度计算是非常复杂的，目前没有明确的程序适用于本标准。

表 11 不确定度的类别

符号	类别
u_D	测量不确定度
u_M	模拟不确定度
u_{LT}	长期不确定度
u_C	组合不确定度

10 资源评估技术报告

10.1 概述

资源评估技术报告应记录评估工作的具体方法和主要结论。报告内容应包含波浪能资源在研究区域内的空间变化特征和指定站点处的时间变化特征。资源评估技术报告宜按 10.3 的规定进行编写。同时，应建立研究成果数据库。

10.2 研究站点的选择

应在研究区域内选择一些指定站点作为研究站点。若采用 MCP 方法,应将所有测量位置作为研究站点;若采用波浪数值模拟方法,研究站点位置宜与建模使用的网格点位置保持一致。对于这些研究站点,应在报告中对其波浪能资源特征值进行更为详细的描述。

注：通常在波浪资源评估中会有一个以上的研究站点。

10.3 技术报告

10.3.1 应编制一份书面技术报告用以记录资源评估工作采用的具体方法和获得的主要结论。该报告应包含以下内容：

- a) 资源评估的等级和目标；
- b) 预期数据分辨率及不确定度；
- c) 研究区域描述；
- d) 作为评估基础的原数据概要,包括数据来源；
- e) 波浪数值模型方法描述；
- f) MCP 方法描述(使用 MCP 方法时)；
- g) 模型输入前的准备；
- h) 模型调参与校正；
- i) 模型验证使用数据；
- j) 模型验证过程和验证结果；
- k) 模型输出结果分析；
- l) 长期波浪能资源特征的评估；
- m) 结果陈述；
- n) 基本假定；
- o) 不确定度评定；
- p) 评估工作局限性讨论(未考虑到的各项因素)；
- q) 与资源评估有关的其他需全面了解的方法和成果信息。

10.3.2 技术报告宜包括一个关于资源评估主要研究成果的概要,概要篇幅介于 2~4 页,并将一些专业技术性语言转换成易于被非技术用户理解的信息。

10.4 数据库

10.4.1 资源评估的主要结果/输出信息应存储在数据库中。数据库内容应包含具有可靠波浪能资源评估结果的所有模型网格节点(或 MCP 测量位置)的信息,若部分研究区域不能可靠预测时,可剔除该区域内的信息。每个点位均应清晰地标注经纬度以及相对于平均海平面的水深值。数据库应包括第 9 章规定的所有波浪能资源特征值的完整时间变化过程。另外,进行 2 级和 3 级资源评估工作时应存储由波浪传播模型生成的研究站点每个时间步上的完整方向谱,进行 1 级资源评估时若有相关资料也应存储在数据库中。使用 MCP 法进行波浪能资源评估时,波浪能资源时域特征值的完整时间变化过程应存储在数据库中。

10.4.2 使用波浪传播模型进行波浪能资源评估时,用于驱动波浪传播数值模型且随时间变化的边界条件、风场和流场(若使用)应存入数据库中。用于数值模型有效性验证的观测数据宜存入数据库中。若采用 MCP 方法,参考位置的数据也应存入数据库中。

10.4.3 为了便于制作波浪能资源的空间变化分布图和时间变化图表,数据库宜采用能够与地理信息系统(GIS)兼容或链接的结构。

注：GIS 指的是设计用于映射和分析多个地理参考空间数据集的计算机程序。

10.5 研究区域波浪能资源特征值展示

当存在波浪能资源特征值空间变化信息时(使用 MCP 方法时除外),技术报告中应包含一套图集,绘图要求和宜采用的特征值见表 12。使用的地图分辨率应与模型计算网格的分辨率一致。对于较大区域和/或复杂区域,可能需要不同比例尺的地图。报告中宜采用彩色等值线图来展示波浪能资源的空

间变化特征。

表 12 需要存档和图示的波浪能资源特征参数

特征参数	单位	评估阶段		
		规划选址	可行性研究	设计开发
平均水深	m	应	应	应
年平均 J	kW/m	应	应	应
模型验证成功度	—	应	应	应
J 月变化	kW/m	—	宜	宜
年平均 H_{m0}	m	宜	宜	宜
H_{m0} 月变化	m	—	宜	宜
年平均 T_e	s	宜	宜	宜
T_e 月变化	s	—	宜	宜
年平均 ϵ_0	—	—	宜	宜
ϵ_0 月变化	—	—	—	宜
按方向分解的年平均 $J_{\theta J_{max}}$	kW/m	—	宜	宜
按方向分解的 $J_{\theta J_{max}}$ 的月变化	kW/m	—	—	宜
按方向分解的年平均 $\theta_{J_{max}}$	(°)	—	宜	宜
按方向分解的 $\theta_{J_{max}}$ 月变化	(°)	—	—	宜
年平均 d	—	—	宜	宜
d 月变化	—	—	—	宜

注 1：“应”表示“应存档和图示的波浪能资源特征参数”。

注 2：“宜”表示“宜存档和图示的波浪能资源特征参数”。

注 3：“—”表示不适用。

10.6 研究站点波浪能资源特征值展示

10.6.1 为进一步说明在各研究站点的波浪能资源的关键属性, 报告中应包括下列图表:

- a) 以 H_{m0} - T_e 散点表(参见表 F.1)的形式表示波浪状态的出现比例。散点表中 H_{m0} 间隔不应大于 0.5 m, T_e 间隔不应大于 1 s。同时, 调整 H_{m0} 和 T_e 的上下边界, 以保证表中至少包括 99.9% 的波浪状态。表格单元中出现频率小于 0.01% 的数据应用“×”进行标注, 并注明其出现次数, 例如“×2”代表单元的数据出现了 2 次。
- b) 用图和/或表的形式反映下列参数长期月平均值的年变化:
 - 1) H_{m0} ;
 - 2) T_e ;
 - 3) J (参见图 F.1);
 - 4) $J_{\theta J_{max}}$ 。
- c) 反映数据长期联合分布特征的年度波浪能玫瑰图:
 - 1) $J_{\theta J_{max}}$ (参见图 F.2);
 - 2) $\theta_{J_{max}}$ 。

10.6.2 为进一步说明各研究站点处波浪能资源的其他属性,报告中宜增加下列图表:

- a) 以 H_{m_0} - T_e 散点表(参见表 F.1)的形式表示方向分解的波浪状态的出现比例。散点表中 H_{m_0} 间隔不应大于 0.5 m, T_e 间隔不应大于 1 s。方向扇区的最大间隔应不大于 45° , 扇区的划分宜结合按方向分解的 $\theta_{J_{max}}$ 进行确定,并应将该划分方案记录在案。
- b) 用图和/或表的形式反映下列参数长期月平均值的年变化:
 - 1) $\theta_{J_{max}}$;
 - 2) d ;
 - 3) ϵ_0 。
- c) 下列参数的年、月累积分布图:
 - 1) H_{m_0} ;
 - 2) T_e ;
 - 3) J (参见图 F.1);
 - 4) $J_{\theta_{J_{max}}}$;
 - 5) $\theta_{J_{max}}$;
 - 6) d ;
 - 7) ϵ_0 。

10.6.3 为了更好地展示各研究站点处波浪能资源属性,可在所选时段上绘制以下参数的时间变化过程图:

- a) H_{m_0} ;
- b) T_e ;
- c) J ;
- d) $J_{\theta_{J_{max}}}$;
- e) $\theta_{J_{max}}$;
- f) d ;
- g) ϵ_0 。

附录 A
(资料性附录)

本标准与 IEC TS 62600-101: 2015 相比的结构变化情况

本标准与 IEC TS 62600-101: 2015 相比在结构上有较多调整, 具体章条编号对照情况见表 A.1。

表 A.1 本标准与 IEC TS 62600-101: 2015 的章条编号对照情况

本标准章条编号	对应的 IEC TS 62600-101:2015 章条编号
7.6	7.7
7.7	7.6
7.7.1	7.6.1
7.7.2	7.6.2
7.7.3	7.6.3
7.7.4	7.6.4
10.3.1~10.3.2	10.3
10.4.1~10.4.3	10.4
10.6.1~10.6.3	10.6
附录 A	—
附录 B	—
附录 C	附录 A
附录 D	—
附录 E	附录 D
附录 F	—
附录 G	附录 B
附录 H	附录 C

附录 B (资料性附录)

本标准与 IEC TS 62600-101:2015 的技术性差异及其原因

表 B.1 给出了本标准与 IEC TS 62600-101:2015 的技术性差异及其原因。

表 B.1 本标准与 IEC TS 62600-101:2015 的技术性差异及其原因

本标准章条编号	技术性差异	原因
2	<p>关于规范性引用文件,本标准做了具有技术性差异的调整,以适应我国的技术条件,调整的情况集中反映在第 2 章“规范性引用文件”中,具体调整如下:</p> <ul style="list-style-type: none"> • 用修改采用国际标准的 GB/T 27418 代替了 ISO/IEC Guide 98-3:2008; • 删除了 IEC TC 61600-100; • 删除了 IHO 2008 Standards for hydrographic surveys, special publication No. 44, 5th Edition; • 增加引用了 GB/T 4883; • 增加引用了 GB 12327; • 增加引用了 JTS 145 	适用我国技术条件
3	<p>将术语“参数化的波浪模型”“第二代波谱模型”和“第三代波谱模型”移到附录 D 中; 重新起草了其他术语和定义</p>	适应我国国情
4	<p>增加了缩略语 MCP、WEC、WMI;增加了 IEC TS 62600-101:2015 中遗漏的符号,并对同一符号不同含义的问题进行了修改</p>	确保技术内容的正确和文本内容的统一
5.1	<p>删除了 IEC TS 62600-101:2015 中 5.1 的第 1 段及修改了第 2 段</p>	<p>删除及修改的内容是对表 1 的解释说明,不宜作为条款</p>
	<p>修改了表 1</p>	<p>增加可操作性</p>
6.1	<p>将“该文件包括但不局限于下列各条款所提到的因素。”修改成“该文件应至少包括研究区域、水深数据、历史波浪数据、波浪测量、风数据、潮汐潮流数据、其他流数据、海冰和其他环境条件、ρ 和 g</p>	更加明确文件内容
6.3	<p>修改了表述;调整了表 2 中的参数,并对水深测量的准确度给出具体规定</p>	确保与我国国家标准的协调统一;确保与本标准前后文的协调统一
6.5.1	<p>删除了 IEC TS 62600-101:2015 中 6.5.1 的第 2 段的第 2 句;测量要素删除了“T_c、J、ϵ_0 和方向分布指数”三个参数,增加了波周期、波向两个参数</p>	增加可操作性

表 B.1 (续)

本标准章条编号	技术性差异	原因
6.5.2	修改了文字描述;表 3 修改为波浪观测的准确度;注 1 和注 3 修改为正文,并将“使用较低采样频率(如每天)进行长时间(如数年)的观测,或使用较高频率(如每 1 h)进行较短时间(1 年或更短)的观测。”修改为“1 级、2 级资源评估每 3 h 观测一次,3 级资源评估至少每 1 h 观测一次。”;将“推荐的记录时间长度为 1 200 s,为获得更准确波浪谱,记录时间长度可以延长到 3 600 s”修改为“记录时间长度宜不少于 1 024 s”	确保与我国标准的协调一致;确保本标准前后文的协调一致
6.5.3	将“观测以前,WMI 应先进行校准,检验其技术指标与供应商的技术说明书符合性。若检验结果不满足表 3,则该 WMI 不应使用。观测结束后,应对 WMI 再进行一次校准,若前后两次校准相差超过正常公差(暂定 5%),则认为本次观测数据无效且该数据不能用于模型结果验证,除非两次校准的满足表 3 所示技术指标。”修改为“WMI 应在检定/校准有效期内使用。仪器检定/校准周期一般不超过 1 年。若检定/校准结果不满足表 3 的规定,则该仪器不应使用。凡在使用过程中经过维修的仪器,应重新检定/校准。”	与国家计量检定规程保持协调一致
6.5.5	删除了“多个观测站的数据可获得更准确的资源评估结果和空间变化规律。”	适应我国技术条件
6.5.6	将“产业标准”对应具体标准号,删除对第 9 章的引用	增加可操作性
6.6	表 4 中 3 级资源评估的风数据空间分辨率由“25 km”,提高到“10 km”	适应我国技术条件
6.7~6.9	增加了新方法应经过行业内专家评审的要求	增加可操作性
	将“如在研究区域的任何部分这种影响显著”修改为“如在研究区域中影响显著的范围大于表 C.2 的规定”	明晰上下文逻辑关系
7.1	删除“波浪能资源估测所需的海况原始数据,应通过适宜的数值模型获得。”	仅适用于数值模拟方法,不符合历史海况参数和 MCP 两种方法
	将“使模拟结果与实测数据的偏差控制在可接受的范围内”修改为“使模拟结果与实测数据的误差符合表 9~表 10 中要求”	增加可操作性

表 B.1 (续)

本标准章条编号	技术性差异	原因
7.2	修改了标题	适应我国标准的表述方式
	删除了对能愿动词“应、宜、可、不应”的描述	能愿动词“应、宜、可、不应”已广为人知,不再重复
	将 IEC TS 62600-101:2015 的表 5 拆分为表 5~表 7,将部分文字内容放到表中,同时删除了重复的语句。并依次调整后续表的编号	确保与我国标准的协调一致
	将 IEC TS 62600-101:2015 中 7.2 的注 1 修改为正文	属于规范性内容,宜安排在正文中
	表 5 中“波-流相互作用”的能愿动词由“应”修改为“可”	目前除了波浪辐射应力和流对波浪的多普勒效应以外,其他波流相互作用机制研究并不成熟
7.3	删除了 IEC TS 62600-101:2015 中 7.3 的第 6 段,重新描述了第 7 段	保持上下文内容一致
	将 IEC TS 62600-101:2015 中 7.3 的注 1 和注 3 修改为正文	属于规范性内容,宜安排在正文中
	将 IEC TS 62600-101:2015 中 5.1 的“低等级资源评估结果可以作为较高等级资源评估的边界条件”调整到 7.3	增加正文的逻辑性
7.4	简化了内容描述,并将解释性语句移到附录 E 中	使表述更简洁清晰
7.5	简化了内容描述	使表述更简洁清晰
7.7.1	删除了 IEC TS 62600-101:2015 中 7.6.1 的第 1 段第 4 句和第 5 句; 删除了 IEC TS 62600-101:2015 中 7.6.1 的第 2 段第 2 句和第 3 句	确保与我国标准的协调一致
7.7.2	删除了对散点表的解释; 简化了 IEC TS 62600-101:2015 中第 2 段的表述; 将 IEC TS 62600-101:2015 中的表 6 拆分为表 8~表 10,并将表 8 中的注修改为段	使表述更简洁清晰
7.7.3	修改了文字描述; 将 IEC TS 62600-101:2015 中的公式(2)和公式(3)合并为本标准的公式(2);表 9、表 10 删除了“ J 、 θ_{jmax} 、 ϵ_0 和 d ”,将“ T_e ”修改为平均周期	适应我国标准表述方式,增加可操作性

表 B.1 (续)

本标准章条编号	技术性差异	原因
7.7.4	将“波浪能流密度”修改为“有效波高”;简化了 IEC TS 62600-101:2015 中 7.7.4 的第 1 段和第 3 段的描述,并删除第 2 段的第 5 句	增加可操作性
	将 IEC TS 62600-101:2015 中 7.7.4 的注 2 修改为正文	属于规范性内容,宜放在正文中
8.1	将 IEC TS 62600-101:2015 中 8.1 的两段合成一段,并重新进行描述	适应我国标准的表述方式
8.2	修改了条标题	使表述更准确
	列项 g)删除对 10.6 的引用	10.6 中未对数据提要求
9	精简了各条中的文字描述	适应我国标准的表述方式
9.1	删除了 IEC TS 62600-101:2015 中 9.1 的第 1 段第 4 句、第 2 段的第 1 句、最后一段第 3 句和第 4 句;增加列项内容”J”	适应我国标准的表述方式
9.2.1	修改了条标题	使表述更准确
9.2.4	将 IEC TS 62600-101:2015 中 9.2.4 的注修改为正文	属于规范性内容,宜放在正文中
9.2.6.2	将 IEC TS 62600-101:2015 中 9.2.6.2 的注“由于 θ_p 高度不稳定,也无法代表波浪能传播方向,因此不宜使用 θ_p 来评估波浪能资源。”修改为正文	属于规范性内容,宜放在正文中
9.4.2	增加了括号中的内容	适应我国标准的表述方式
9.4.4	将 IEC TS 62600-101:2015 中的公式(22)替换成本标准的公式(22)和公式(23),并增加了示例	增加可操作性,便于标准执行
10.1	删除 IEC TS 62600-101:2015 中 10.1 的第 2 段最后一句话和第 2 段	适应我国标准的表述方式
10.2	删除 IEC TS 62600-101:2015 中 10.2 的第 2 句话和最后 2 句话	适应我国标准的表述方式
10.5	删除了图 3	适应我国国情
10.6	删除了表 4、图 5、图 6	适应我国国情
	将 d 的下标删除	与第 4 章和公式(17)保持一致
附录 D	增加附录 D,并将 IEC TS 62600-101:2015 中的 3.3.1~3.3.3 的内容移到附录 D 中	适应我国国情
附录 G	将 IEC TS 62600-101:2015 规范性附录 B 改成规范性附录 G,并删除 B.2 第 1 段的后 2 句和第 2 段	适应我国国情

附录 C
(资料性附录)
敏感性分析方法

C.1 敏感性分析和敏感要素判定

敏感性分析用于判断数值模型的有关要素对波浪资源评估的影响程度。

若某要素对波浪能资源评估结果产生显著影响，则称该要素为敏感要素。若某要素对波浪能资源评估结果影响较小，则为非敏感要素，可在数值模型中将其剔除。

敏感性分析可采用多种不同的方法实现，本附录中的敏感性分析方法适用于快速地判定某要素对于数值模拟是否有显著影响。如果其他方法也能达到同样的效果，也同样适用。

C.2 显著性判定

对某一海况来说，该要素对模型的影响应由整个研究区域内 J 和 H_{m0} 的变化情况体现。

根据波浪能资源评估等级（见第5章），宜使用阈值条件（参见表C.1）来判定影响程度，如果剔除模型参数的影响大于阈值，则认为该要素对模型有显著影响。

表 C.1 宜采用的敏感性阈值

评估等级	阶段	阈值			
		J kW/m		H_{m0} m	
		$J < 2$	$J \geq 2$	$H_{m0} < 1$	$H_{m0} \geq 1$
1	规划选址	0.4	$0.20J$	0.1	$0.10H_{m0}$
2	可行性研究	0.24	$0.12J$	0.06	$0.06H_{m0}$
3	设计开发	0.12	$0.06J$	0.03	$0.03H_{m0}$

C.3 海况样本选取

海况样本宜从 H_{m0} - T_e 散点表中（参见表F.1）的各单元中随机选取。海况调查样本集宜从每个相对发生频率大于0.1%的单元中至少选取一个样本。

用于敏感性分析的海况样本与敏感性分析结果，宜一起进行记录。

C.4 非敏感情形

若数值模型的某要素对 J 和 H_{m0} 均产生显著影响的海况占总海况样本的百分比小于表C.2界定的阈值，则认为该要素为非敏感要素。

表 C.2 宜采用的非敏感条件

评估等级	阶段	海况的最大百分比
1	规划选址	5%
2	可行性研究	2%
3	设计开发	1%

附录 D
(资料性附录)
海浪模型

D.1 参数化海浪模型

海浪预报研究始于第二次世界大战期间 Sterdrup 和 Munk 建立的海浪理论, 主要利用海况参数和风浪、涌浪经验公式进行海浪预报。20世纪50年代初, Pierson 将谱引入海浪研究, Neumann 提出了第一个海浪谱。由于海浪谱的矩与海浪特征波高和周期等有简单而明确的关系, 可以不通过能量变化而直接由海浪谱计算海浪特征值。Pierson 等(1955)在 Neumann 谱的基础上提出了 Pierson-Neumann-James 海浪预测方法(简称 PNJ 方法), 后来多种更合理和较准确的海浪频率谱模型, 特别是海浪方向谱模型的提出, 使这一方法得到改进和发展。

D.2 第一代海浪模型

自 1957 年起, Gelci 等提出了第一个海浪谱数值计算模型(即 DSA 模型)。自 Gelci 等人的开创性工作之后, 20 世纪 60 年代发展起来的第一代海浪模型避开了显示地模拟完全的能量平衡这一问题, 这些模型通常假设波的各分量达到饱和状态时, 突然停止增长。第一代海浪模型过高地估计了风的能量输入, 未考虑非线性波浪相互作用。

D.3 第二代海浪模型

20 世纪 70 年代, 广泛的波浪成长试验以及风输入给波浪能量的直接观测, 改变了作为第一代模型基础的能量平衡观点, 产生了第二代海浪模型。第二代海浪模型采用简化的参数化形式的非线性波浪相互作用。

D.4 第三代海浪模型

西欧一些国家自 1985 年开始第三代海浪数值预报的研究计划, 成立了一个 WAM (Wave Modelling Group) 小组。WAM 模型代表了第一个可运行的第三代海浪模型, 并成功地应用于区域和全球尺度的海浪预报和后报。第三代海浪模型显著特点在于:

- a) 考虑了波-波非线性相互作用;
- b) 对波浪演化中的谱形为加先验性限制;
- c) 能够处理风速、风向的骤然变化。

参考文献[6]提出了一种新型混合浪数值模型, 该模型的风浪部分基于有效波的能量平衡方程, 将现今风浪能量计算中所有无法避免的经验成分集中于一项, 并通过可靠的风浪成长经验关系予以确定。该模型具有两个显著特点:

- a) 可靠性, 由于以可靠的风浪成长经验关系得到源函数取代通常逐项计算源函数, 避免了复杂的、难以精确的计算手续, 使模型的精度得到根本的保证;
- b) 高效性, 由于综合性源函数避免了直接计算波-波相互作用, 节省了计算量, 在相同条件下所用机时仅约为 WAM 模型的 1/60。

参考文献[8]提出改进了 WAM 模型,发展了一种直接模拟海浪波数谱的 LAGFD-WAM 模型,利用理论导出的能量耗散源函数取代了 WAM 模型中的经验公式,使高海况下的计算结果有明显的改进。同时还在控制方程中引入波-流相互作用项,考虑了非均匀和非定常流场的作用。

附录 E
(资料性附录)
近岸波浪能资源

E.1 概述

波浪破碎是波浪自深水传向海岸时,由于水深逐渐变小,当深度浅至一定程度时,波浪发生显著演化。在理论分析与观测中,判断波浪破碎的指标有三个:

- a) 运动学判据,指波面水质点水平速度超过波相速时发生波浪破碎,此情形下水质点将沿水平方向脱离波面;
- b) 动力学判据,是波峰水质点铅直加速度超过某临界值时发生波浪破碎,水质点将沿铅直方向脱离波面;
- c) 几何的判据,波面几何形状的特征量超过某临界值时发生波浪破碎。

近岸波的波面濒于破碎的空间连线称为碎波线,通常以碎波线的位置来确定碎波带(区)。在较浅水域,波浪能资源会受到波浪破碎影响强烈,因对当时的波况、水位的变化(由于潮汐,风暴潮和其他因素的影响)、近岸流,甚至地形的时间变化(例如,由于沙坝的迁移)高度敏感,很难进行准确的数值模拟,只有最复杂的波谱模型才可较可靠预测碎波区内的波况。为了可以成功模拟,这种模型需要整个碎波区详细的水深,以及随时间变化的水位、入射波条件、近岸流和地形等详细可靠的信息。

碎浪波高与破碎深度的关系可参考参考文献[6]。

E.2 限制水深

在有波浪破碎发生的浅水海域,预测准确度可接受的波况可能存在困难。一种可接受的替代方案是将资源评估限制在不发生波浪破碎的位置,为了简单起见,在大多数情况下可将其视为在大于 16 m 的水深区域,此时 16 m 等深线宜明确标注,宜将这种简化的方法用于所有 1 级和 2 级资源评估中。若限制水深不为 16 m,被排除的区域浅水深度宜适当标注。

注 1: 波况不受随海底坡度和波周期变化的波浪破碎影响的区域。水深大于 16 m 时, H_{m0} 超过 7 m 的海面状态通常不受浅水波浪破碎的影响。

注 2: 波候极端恶劣的地区可能需要更深的限制深度。例如 16 m 等深线处,7 m 的 H_{m0} 年累积波浪能超过全年的 1%。

设计阶段可尝试将资源评估扩展到深度受限的波浪破碎频繁发生的较浅的水域。在这种情况下,宜采用包括合理的波浪非线性和深度受限波浪破碎过程的波谱模型来预测近岸区域波况的时空变化。该模型以合理的精度模拟的破碎带波高衰减的能力宜经科学可靠的方法证实。宜明确规定最小水深,排除较浅区域。

注 3: 一种可接受的模型验证方法是重现波高衰减过程。

E.3 海底地形

宜收集整个碎波带高分辨率的海底地形。如果海床由可移动的沉积物组成,并且有证据表明海底地形可能随时间推移而显著变化,则宜在数值模拟波况时增加随时间变化的海底地形。

E.4 水位波动

若由潮汐和风暴潮引起的随时间变化的水位对近岸波浪能资源影响显著,则数值模拟时宜加入随时间变化的水位。无论通过敏感性分析还是科学推理,若证明它们的影响可忽略不计,则就可以省略这些过程。

由潮汐导致的水位随时间的波动,可通过附近海洋站的潮汐数据或测量的数据进行估测。如果没有可用的实测数据,可依据数值模型模拟潮波在该区域的传播过程。由风暴潮引起的水位波动,可通过附近站点的水位测量数据分析获得,否则可能需要风暴潮数值模型预报水位波动。

注:风暴潮是与低压系统相关的局部短时性增加的水位,主要是由强风吹向海面引起的。

波浪增减水对波浪能资源评估并不重要。但是,如果有证据表明波浪增减水显著影响了波浪能资源,则宜将其纳入资源评估中。

E.5 潮流

在潮流相对强的近岸区,潮流可能会对整个碎波区的波高衰减方式产生显著影响。潮汐、外流河、潮汐通道的流出(或流入)、波浪引导的沿岸流和激流,这些中的一个或多个的组合形成了强的近岸流循环。如研究区域任何位置的由这些因素导致的平均流速超过 1.5 m/s,波浪数值模型中宜增加流的影响。

E.6 验证

宜使用测量数据验证近岸区域(碎波区)的波浪数值模拟结果(见 7.6)。

E.7 不确定度

尽管有上述规定,很可能在碎波区内预测的波况将比在没有碎波发生的较深水区预测的波况更不确定。宜估计和适当注意可能增加的不确定度(见 9.5)。

附录 F
(资料性附录)
波浪能资源图表示例

图 F.1 和图 F.2 给出了波浪能资源图的示例。

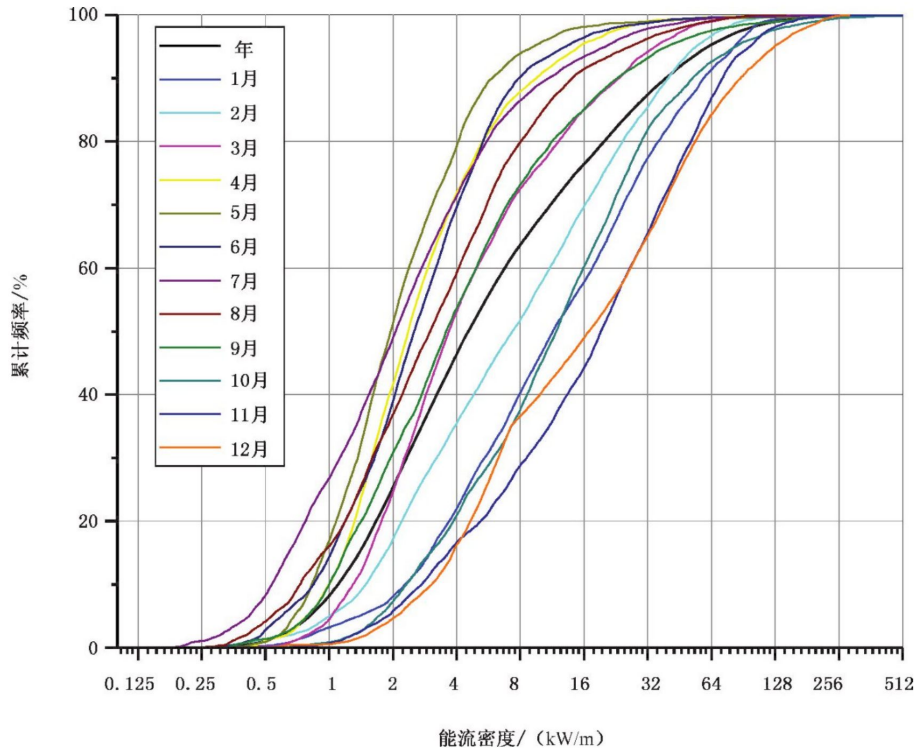


图 F.1 不同月份波浪能流密度分布曲线图示例

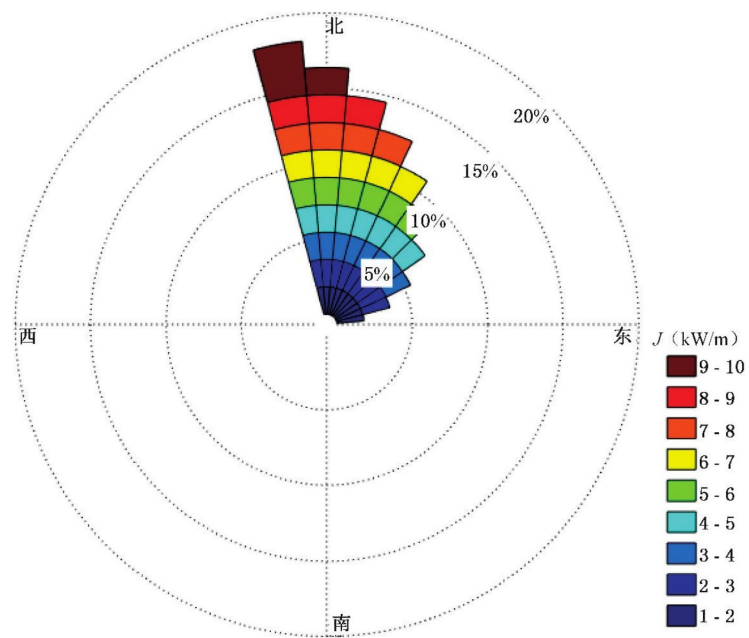


图 F.2 波浪能流密度玫瑰图示例

表 F.1 给出了 H_{m0} - T_e 散点表示例。

表 F.1 H_{m0} - T_e 散点表示例

H_{m0} m	T_e s							各级 H_{m0} 出现频率 %
	2.1~3.0	3.1~4.0	4.1~5.0	5.1~6.0	6.1~7.0	7.1~8.0	8.1~9.0	
0.0~0.5	0.0	0.0	0.0	0.0	0.0	0.0	0.0	0.0
0.6~1.0	0.0	0.0	0.1	0.0	0.0	0.0	0.0	0.1
1.1~1.5	0.1	0.3	6.6	1.8	0.0	0.0	0.0	8.7
1.6~2.0	0.0	0.8	18.7	7.5	0.0	0.0	0.0	27.1
2.1~2.5	0.0	0.1	9.1	5.3	0.2	0.0	0.0	14.7
2.6~3.0	0.0	0.0	9.4	6.6	0.5	0.0	0.0	16.5
3.1~3.5	×2	0.0	2.9	7.9	0.9	0.0	0.0	11.7
3.6~4.0	0.0	0.0	1.4	7.3	1.7	0.0	0.0	10.4
4.1~4.5	0.0	0.0	1.1	8.1	1.5	0.1	0.0	10.8
各级 T_e 出现 频率 %	0.1	1.2	49.3	44.5	4.8	0.1	0.0	100.0

注 1: H_{m0} 间隔不大于 0.5 m, T_e 间隔不大于 1.0 s。
 注 2: 调整 H_{m0} 和 T_e 的上下边界, 以保证表中至少包括 99.9% 的波浪状态。
 注 3: 表格单元中出现频率小于 0.01% 的数据用“×”进行标注, 并注明其出现次数, 例如“×2”代表单元的数据出现了 2 次。

附录 G
(规范性附录)
测量不确定度评定

G.1 概述

波浪能资源评估应进行测量不确定度评定。测量不确定度,简称不确定度,即利用可获得的信息,表征赋予被测量量值分散性的非负参数。波浪能资源应按 GB/T 27418 的规定进行不确定度评定。

GB/T 27418 给出了两种类型的标准不确定度,对在规定测量条件下测得的量值用统计分析的方法进行的测量不确定度分量的评定,简称 A 类评定;用不同于测量不确定度 A 类评定的方法对测量不确定度分量进行的评定,简称 B 类评定。这两类不确定度都以标准差的形式表示,称为标准不确定度。

G.2 不确定度分析

波浪能资源由大量参数定义,每个参数都具有不确定度,不确定度评定至少应包括 H_{m0} 、 T_e 和 J (见表 G.1)。

表 G.1 不确定度参数列表

测量/模型参数	不确定度来源	不确定度类别
H_{m0}	WMI/模型校准	B
	系泊的影响和/或对 WMI 产生的其他影响	B
	数据采集系统(例如,采样时间)	B
T_e	WMI/模型校准	B
	系泊的影响和/或对 WMI 产生的其他影响	B
	数据获取系统(例如,采样时间)	B
	海流强度	B
J	h	A/B
	ρ	A/B
	H_{m0} / T_e 的年际变化	A

如果采用 A 类不确定度评定,应描述测量和分析方法;如果采用 B 类不确定度评定,应描述其标准差。

附录 H
(资料性附录)
长期不确定度实例

H.1 波浪能流密度变化实例

H.1.1 区域波浪能流密度年际变化图

区域 J 年际变化是一定区域内年平均 J 在年际间的变化状况。图 H.1 为 $\times \times$ 区域 J 年际变化图示例。

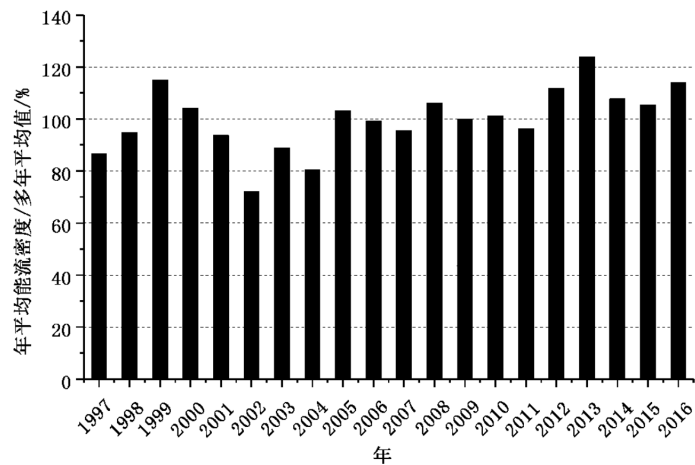


图 H.1 $\times \times$ 区域波浪能流密度年际变化图示例

H.1.2 站位波浪能流密度年际变化图

图 H.2 所示是福建二号浮标站的 J 年际变化图示例。

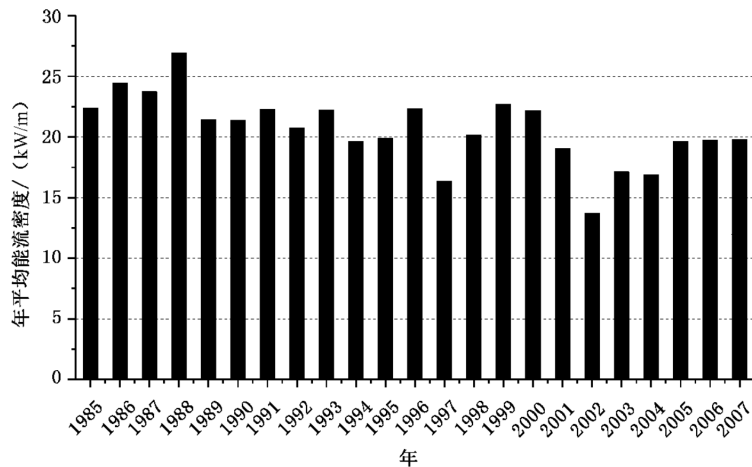


图 H.2 福建二号浮标站(FJ02)波浪能流密度年际变化图示例

H.1.3 平均绝对误差和最大误差

表 H.1 是图 H.1 中区域和图 H.2 中福建二号浮标(FJ02)数据 3 年、5 年和 10 年的 J 滑动平均分别与整个数据集波浪能的平均值比较计算得到的平均绝对误差和最大误差。

表 H.1 我国海测点和福建二号浮标数据集 3 年、5 年和 10 年的波浪能平均值间的平均绝对误差和最大误差比较

多年平均值	××区域		福建二号浮标站	
	平均绝对误差 %	最大误差 %	平均绝对误差 %	最大误差 %
3 年平均	6.46	18.97	8.74	22.92
5 年平均	4.14	10.91	7.49	16.29
10 年平均	2.51	3.96	5.13	9.11

H.2 自然气候变化

自然气候变化是指年平均 J 受自然气候影响的长时期内的变化。图 H.3 显示了位于中国江苏沿海的响水波浪测站的年均、5 年平均、10 年平均和 20 年平均的 J 变化。

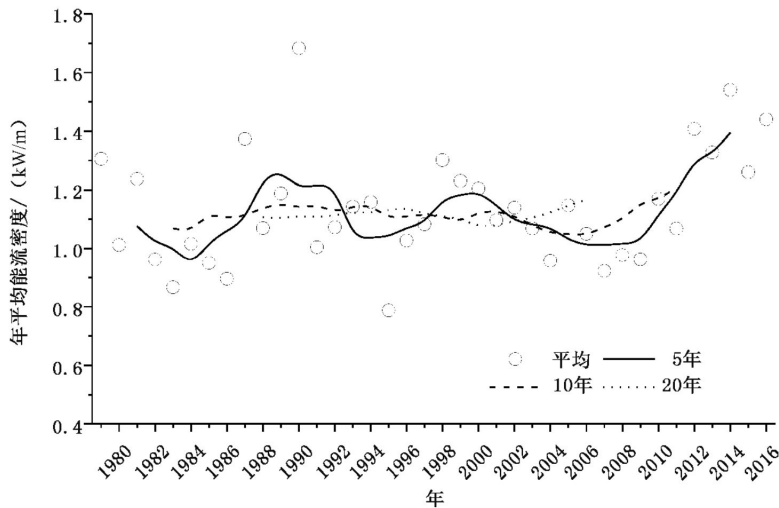


图 H.3 响水波浪测站波浪能的 1 年、5 年、10 年和 20 年移动平均值

参考文献[9]提出由于长期气候的变化,即使有 50 年的观测数据,也无法对某一指定海域准确建模并精准预估 J 变化趋势。

参考文献[10]提出,中国南海冬季 H_{m0} 的主导模态存在显著的年代际和年际变化特征,空间模态呈海盆一致模,异常中心位于吕宋海峡西侧。在年代际尺度上, H_{m0} 从负位相转变为正位相主要受太平洋 10 年涛动(PDO)对东亚冬季风的调制作用影响;在年际尺度上,波高变率与秋季和冬季的厄尔尼诺南方涛动(ENSO)有很显著的负相关性。

因此,除了通过 10 年平均评估量化方法考察某一位置处的波浪能资源年际变化以外,确定该站点是否受到长期气候变化影响也同样重要,这一长期气候变化的影响可能在采用 10 年平均评估量化方法的观察结果中并不明显。

H.3 人致气候变化

除去由于受到气候变化影响而导致的波候的“自然”变化率,人致因素例如温室气体的排放对波候

产生的影响也非常重要。

H.4 结论

表 H.1 显示了测量点的波浪能资源的 10 年平均评估量化的年际变率比 3 年或 5 年评估更好。

除此之外,对于每个测站来说了解其是否受长期气候变化的影响也很重要。这些长期气候变化的影响有可能在波浪能资源的 10 年评估量化结果中仍然无法体现。

参 考 文 献

- [1] GB/T 6379.2—2004 测量方法与结果的准确度(正确度与精密度) 第2部分:确定标准测量方法重复性与再现性的基本方法
 - [2] GB/T 12763.2—2007 海洋调查规范 第2部分:海洋水文观测
 - [3] GB/T 14914.2—2019 海洋观测规范 第2部分:海滨观测
 - [4] HY/T 089—2005 波浪浮标
 - [5] JJG 1144—2017 重力加速度式波浪浮标检定规程
 - [6] 文圣常,余宙文. 海浪理论与计算原理[M]. 北京:科学出版社出版,1985.
 - [7] 徐德伦,于定勇. 随机海浪理论[M]. 北京:高等教育出版社. 2001.
 - [8] 袁业立,潘增弟,华锋,孙乐涛. LAGFD-WAM 海浪数值模式 I :基本物理模型. 海洋学报, 1992, 14(5): 1-7.
 - [9] Mackay E B L , Bahaj A B S , Challenor P G . Uncertainty in wave energy resource assessment Part 2: Variability and predictability [J]. Renewable Energy, 2010, 35(8): 1809-1819.
 - [10] Zhu, G L, Lin W T, Zhao S, et al. Spatial and temporal variation characteristics of ocean waves in the South China Sea during the boreal winter[J]. Acta Oceanologica Sinica, 2015, 34(1): 23-28.
-

GB/T 39571—2020

中华人民共和国

国家标准

波浪能资源评估及特征描述

GB/T 39571—2020

*

中国标准出版社出版发行
北京市朝阳区和平里西街甲2号(100029)
北京市西城区三里河北街16号(100045)

网址:www.spc.org.cn

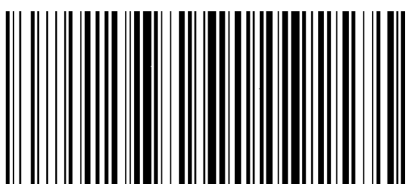
服务热线:400-168-0010

2020年12月第一版

*

书号:155066·1-66512

版权专有 侵权必究



GB/T 39571-2020